

# ВЫСОКОЧАСТОТНАЯ ПРОВОДИМОСТЬ ТОНКОЙ ПРЯМОУГОЛЬНОЙ ПРОВОЛОКИ ИЗ МЕТАЛЛА

Э. В. Завитаев, А. А. Юшканов\*

Московский государственный университет леса  
141005, Мытищи, Московская обл., Россия

Поступила в редакцию 25 июля 2005 г.

Вычислена высокочастотная проводимость прямой металлической проволоки прямоугольного сечения. Рассмотрен случай, когда поперечные размеры проволоки во много раз меньше ее длины. В качестве граничных условий задачи принято условие диффузного отражения электронов от внутренних поверхностей проволоки. Рассмотрены предельные случаи и проведено обсуждение полученных результатов.

PACS: 78.67.-n

## 1. ВВЕДЕНИЕ

Электрические свойства проводников, линейный размер  $R$  которых сравним с длиной свободного пробега  $\Lambda$  электронов, существенно отличается от свойств «массивных» проводников [1, 2].

В фундаментальной работе [2], посвященной расчету электрической проводимости тонкой цилиндрической проволоки (отношение ее радиуса к длине много меньше единицы), рассматривались только стационарные электрические поля. Вопросы, касающиеся проводимости тонкой цилиндрической проволоки, помещенной в магнитное поле, обсуждались в работах [3–7]. В упомянутых работах применяется подход, основанный на решении кинетического уравнения Больцмана для электронов проводимости в металле.

В работе [8], в которой измерялось электрическое сопротивление тонких металлических проволок прямоугольного сечения, был подтвержден важный факт: удельное электрическое сопротивление тонких металлических проволок (при заданной температуре) зависит от их геометрии.

Заметим, что задачи о проводимости тонких металлических проволок становятся особенно актуальными в связи с бурным развитием микроэлектроники, где такие проволоки широко применяются.

В настоящей работе кинетическим методом рассчитана функция распределения, описывающая ли-

нейный отклик электронов в однородной проволоке прямоугольного сечения на переменное электрическое поле, ориентированное вдоль оси проволоки. По найденной функции распределения удастся рассчитать зависимости интегральной проводимости как от отношения диагонали поперечного сечения проволоки к длине свободного пробега электронов, так и от отношения поперечных размеров проволоки и частоты.

## 2. МАТЕМАТИЧЕСКАЯ МОДЕЛЬ И РАСЧЕТ

Рассматривается прямая проволока прямоугольного сечения из немагнитного металла с поперечными размерами  $a$  и  $b$  и длиной  $L$  (считаем, что  $L \gg a, b$ ), к концам которой приложено переменное напряжение частоты  $\omega$ . При этом направление электрического поля совпадает с осью проволоки. Скин-эффект не учитывается (предполагается, что  $a, b < \delta$ , где  $\delta$  — глубина скин-слоя).

Однородное периодическое по времени электрическое поле

$$\mathbf{E} = \mathbf{E}_0 e^{-i\omega t} \quad (1)$$

воздействует на электроны внутри проволоки и вызывает отклонение  $f_1$  их функции распределения  $f$  от равновесной фермиевской функции  $f_0$ :

$$f(\mathbf{r}, \mathbf{v}) = f_0(\varepsilon) + f_1(\mathbf{r}, \mathbf{v}),$$

$$\varepsilon = m\mathbf{v}^2/2,$$

\*E-mail: yushkanov@mtu-net.ru

где  $\mathbf{r}$  — радиус-вектор,  $\mathbf{v}$  — скорость электрона,  $m$  — эффективная масса электрона в металле.

Это приводит к возникновению высокочастотного тока с плотностью

$$\mathbf{j} = e \int \frac{2\mathbf{v}f}{h^3} d^3(mv) = 2e \left(\frac{m}{h}\right)^3 \int \mathbf{v}f_1 d^3v, \quad (2)$$

где  $e$  — заряд электрона в металле,  $h$  — постоянная Планка. Его расчет будем проводить в прямоугольной декартовой системе координат  $xyz$  с осью  $z$ , проходящей через точку пересечения диагоналей и направленной вдоль оси проволоки.

В формуле (2) используется стандартная нормировка функции распределения  $f$ , при которой плотность электронных состояний равна  $2/h^3$ .

Для равновесной функции  $f_0(\varepsilon)$  далее используется ступенчатая аппроксимация [9]:

$$f_0(\varepsilon) = \theta(\varepsilon_F - \varepsilon) = \begin{cases} 1, & 0 \leq \varepsilon \leq \varepsilon_F, \\ 0, & \varepsilon_F < \varepsilon, \end{cases}$$

где  $\varepsilon_F = mv_F^2/2$  — энергия Ферми ( $v_F$  — скорость Ферми). Предполагается, что ферми-поверхность имеет сферическую форму.

Задача сводится к отысканию отклонения  $f_1$  функции распределения электронов от равновесной функции  $f_0$ , возникающего под действием высокочастотного поля (1). В линейном приближении по внешнему полю функция  $f_1$  удовлетворяет кинетическому уравнению [9, 10]

$$-i\omega f_1 + \mathbf{v} \cdot \frac{\partial f_1}{\partial \mathbf{r}} + e\mathbf{v} \cdot \mathbf{E} \frac{\partial f_0}{\partial \varepsilon} = -\frac{f_1}{\tau}, \quad (3)$$

где предполагается стационарная зависимость от времени ( $f_1 \propto \exp(-i\omega t)$ ), а интеграл столкновений взят в приближении времени релаксации  $\tau$  электронов:

$$\left(\frac{df_1}{dt}\right)_s = -\frac{f_1}{\tau}.$$

Решая уравнение (3) методом характеристик [11], получаем

$$f_1 = A [\exp(-\nu t') - 1] / \nu, \quad t' \geq 0, \quad (4)$$

где

$$\nu = \frac{1}{\tau} - i\omega, \quad A = e\mathbf{v} \cdot \mathbf{E} \frac{\partial f_0}{\partial \varepsilon}, \quad (5)$$

причем величины  $\nu$  и  $A$  постоянны вдоль траектории (характеристики). Параметр  $t'$  в выражении (4) имеет смысл времени движения электрона вдоль траектории от границы, на которой происходит отражение, до точки  $\mathbf{r}$  со скоростью  $\mathbf{v}$ .

Для однозначного определения функции  $f_1$  необходимо задать для нее граничные условия на внутренних поверхностях проволоки. В качестве таковых принимаем условие диффузного отражения электронов от этих поверхностей [10]:

$$f_1(\mathbf{r}, \mathbf{v}) = 0 \text{ при } \begin{cases} x = a/2 & \text{или } x = -a/2, \\ xv_x < 0, \end{cases} \quad (6)$$

а также

$$f_1(\mathbf{r}, \mathbf{v}) = 0 \text{ при } \begin{cases} y = b/2 & \text{или } y = -b/2, \\ yv_y < 0. \end{cases} \quad (7)$$

Распределение плотности тока в поперечном сечении проволоки можно получить, например, для первой координатной четверти ( $0 \leq x \leq b/2$ ,  $0 \leq y \leq a/2$ ). Из-за симметрии задачи распределение плотности тока в других четвертях будет аналогичным.

При отражении электрона от внутренних граней проволоки параметр  $t'$  в выражении (4) определяется по следующим формулам:

$$t_1 = \frac{2x - b}{2v_x} \text{ для правой грани, где } v_x < 0, \quad (8)$$

$$t_2 = \frac{2x + b}{2v_x} \text{ для левой грани, где } v_x > 0, \quad (9)$$

$$t_3 = \frac{2y - a}{2v_y} \text{ для верхней грани, где } v_y < 0, \quad (10)$$

$$t_4 = \frac{2y + a}{2v_y} \text{ для нижней грани, где } v_y > 0. \quad (11)$$

Соотношениями (4), (5) и (8)–(11) полностью определено решение  $f_1$  уравнения (3) с граничными условиями (6) и (7), что позволяет рассчитать плотность тока (2).

Поле (1) в прямоугольных декартовых координатах имеет лишь  $z$ -компоненту (ось проволоки совпадает с осью  $z$ ):

$$\mathbf{E} = E_z \mathbf{e}_z, \quad E_z = E_0 e^{-i\omega t}.$$

Соответственно и вектор плотности тока (2) обладает лишь  $z$ -компонентой (линии тока являются прямыми, параллельными оси  $z$ ):

$$j_z = \frac{3n\epsilon^2}{4\pi v_F^3} E_z \int v_z^2 \delta(\varepsilon - \varepsilon_F) \frac{1 - \exp(-\nu t')}{\nu} d^3v.$$

Здесь мы учли, что концентрация электронов проводимости в металлах определяется как

$$n = 2 \left(\frac{m}{h}\right)^3 \int f_0 d^3v = 2 \left(\frac{m}{h}\right)^3 \cdot \frac{4}{3} \pi v_F^3.$$

Воспользовавшись свойствами  $\delta$ -функции, имеем

$$\begin{aligned} \delta(\varepsilon - \varepsilon_F) &= \frac{2}{m} \delta(v_z^2 + v_\perp^2 - v_F^2) = \frac{2}{m} \delta[v_z^2 - (v_F^2 - v_\perp^2)] = \\ &= \frac{2}{m} \delta \left[ \left( v_z - \sqrt{v_F^2 - v_\perp^2} \right) \left( v_z + \sqrt{v_F^2 - v_\perp^2} \right) \right] = \\ &= \frac{1}{m \sqrt{v_F^2 - v_\perp^2}} \left[ \delta \left( v_z - \sqrt{v_F^2 - v_\perp^2} \right) + \right. \\ &\quad \left. + \delta \left( v_z + \sqrt{v_F^2 - v_\perp^2} \right) \right]. \end{aligned}$$

В силу симметрии задачи интегрирование по всему диапазону скоростей  $v_z$  заменяется интегрированием по положительному диапазону, и результат удваивается, поэтому

$$j_z = \frac{3ne^2 E_z}{2\pi v_F^3 m} \int \frac{v_z^2 \delta \left( v_z - \sqrt{v_F^2 - (v_x^2 + v_y^2)} \right)}{\sqrt{v_F^2 - (v_x^2 + v_y^2)}} \times \frac{1 - \exp(-\nu t')}{\nu} dv_x dv_y dv_z.$$

Проинтегрировав по переменной  $v_z$  (в пределах от 0 до  $\infty$ ), имеем

$$j_z = \frac{3ne^2 E_z}{2\pi m v_F^3} \iint \sqrt{v_F^2 - (v_x^2 + v_y^2)} \times \frac{1 - \exp(-\nu t')}{\nu} dv_x dv_y. \quad (12)$$

При вычислении интеграла (12) удобно перейти к цилиндрическим координатам в пространстве скоростей ( $v_\perp, \alpha, v_z$ ; полярная ось — ось  $v_z$ ). Этот переход позволяет выделить в пространстве скоростей следующие характерные области интегрирования по углу  $\alpha$  ( $0 \leq \alpha \leq 2\pi$ ):

1) при отражении электронов от правой грани

$$-\arctg \frac{a+2y}{b-2x} \leq \alpha \leq \arctg \frac{a-2y}{b-2x},$$

2) при отражении электронов от левой грани

$$-\arctg \left( \frac{a-2y}{b+2x} \right) + \pi \leq \alpha \leq \arctg \left( \frac{a+2y}{b+2x} \right) + \pi,$$

3) при отражении электронов от верхней грани

$$-\arctg \left( \frac{b-2x}{a-2y} \right) + \frac{\pi}{2} \leq \alpha \leq \arctg \left( \frac{b+2x}{a-2y} \right) + \frac{\pi}{2},$$

4) при отражении электронов от нижней грани

$$-\arctg \left( \frac{b-2x}{a+2y} \right) + \frac{3\pi}{2} \leq \alpha \leq \arctg \left( \frac{b+2x}{a+2y} \right) + \frac{3\pi}{2}.$$

При этом формулы (8)–(11) принимают следующий вид:

$$t_1 = \frac{b-2x}{2v_\perp \cos \alpha} \quad (\text{для правой грани}),$$

$$t_2 = \frac{b+2x}{|2v_\perp \cos \alpha|} \quad (\text{для левой грани}),$$

$$t_3 = \frac{a-2y}{2v_\perp \sin \alpha} \quad (\text{для верхней грани}),$$

$$t_4 = \frac{a+2y}{|2v_\perp \sin \alpha|} \quad (\text{для нижней грани}).$$

Тогда

$$j_z = j_{z1} + j_{z2} + j_{z3} + j_{z4}, \quad (13)$$

где

$$j_{zk} = \frac{3ne^2 E_z}{2\pi m v_F^3} \times \int_0^{v_F} dv_\perp \int_{\alpha_k}^{\beta_k} v_\perp \sqrt{v_F^2 - v_\perp^2} \frac{1 - \exp(-\nu t_k)}{\nu} d\alpha,$$

$$k = 1, 2, 3, 4.$$

Здесь

$$\alpha_1 = -\arctg \frac{a+2y}{b-2x}, \quad \beta_1 = \arctg \frac{a-2y}{b-2x},$$

$$\alpha_2 = -\arctg \left( \frac{a-2y}{b+2x} \right) + \pi,$$

$$\beta_2 = \arctg \left( \frac{a+2y}{b+2x} \right) + \pi,$$

$$\alpha_3 = -\arctg \left( \frac{b-2x}{a-2y} \right) + \frac{\pi}{2},$$

$$\beta_3 = \arctg \left( \frac{b+2x}{a-2y} \right) + \frac{\pi}{2},$$

$$\alpha_4 = -\arctg \left( \frac{b-2x}{a+2y} \right) + \frac{3\pi}{2},$$

$$\beta_4 = \arctg \left( \frac{b+2x}{a+2y} \right) + \frac{3\pi}{2}.$$

Для дальнейших вычислений и анализа результатов введем новые переменные:

$$\xi = \frac{x}{b}, \quad \rho = \frac{v_\perp}{v_F}, \quad \eta = \frac{y}{a}, \quad K = \frac{a}{b},$$

$$\Delta = \nu \frac{\sqrt{a^2 + b^2}}{v_F} = \left( \frac{1}{\tau} - i\omega \right) \frac{\sqrt{a^2 + b^2}}{v_F} = \lambda - i\Omega.$$

Тогда

$$j_{z1} = j_0 \int_0^1 d\rho \int_{N_1}^{V_1} \rho \sqrt{1-\rho^2} \times \\ \times \frac{1}{\Delta} \left[ 1 - \exp \left( -\frac{\Delta(1-2\xi)}{2\rho \cos \alpha \sqrt{1+K^2}} \right) \right] d\alpha,$$

$$j_{z2} = j_0 \int_0^1 d\rho \int_{N_2}^{V_2} \rho \sqrt{1-\rho^2} \times \\ \times \frac{1}{\Delta} \left[ 1 - \exp \left( -\frac{\Delta(1+2\xi)}{2|\rho \cos \alpha| \sqrt{1+K^2}} \right) \right] d\alpha,$$

$$j_{z3} = j_0 \int_0^1 d\rho \int_{N_3}^{V_3} \rho \sqrt{1-\rho^2} \times \\ \times \frac{1}{\Delta} \left[ 1 - \exp \left( -\frac{\Delta K(1-2\eta)}{2\rho \sin \alpha \sqrt{1+K^2}} \right) \right] d\alpha,$$

$$j_{z4} = j_0 \int_0^1 d\rho \int_{N_4}^{V_4} \rho \sqrt{1-\rho^2} \times \\ \times \frac{1}{\Delta} \left[ 1 - \exp \left( -\frac{\Delta K(1+2\eta)}{2|\rho \sin \alpha| \sqrt{1+K^2}} \right) \right] d\alpha.$$

Здесь

$$j_0 = \frac{3ne^2 \sqrt{a^2+b^2} E_z}{2\pi m v_F},$$

$$N_1 = -\operatorname{arctg} \frac{K(1+2\eta)}{1-2\xi}, \quad V_1 = \operatorname{arctg} \frac{K(1-2\eta)}{1-2\xi},$$

$$N_2 = -\operatorname{arctg} \left( \frac{K(1-2\eta)}{1+2\xi} \right) + \pi,$$

$$V_2 = \operatorname{arctg} \left( \frac{K(1+2\eta)}{1+2\xi} \right) + \pi,$$

$$N_3 = -\operatorname{arctg} \left( \frac{1-2\xi}{K(1-2\eta)} \right) + \frac{\pi}{2},$$

$$V_3 = \operatorname{arctg} \left( \frac{1+2\xi}{K(1-2\eta)} \right) + \frac{\pi}{2},$$

$$N_4 = -\operatorname{arctg} \left( \frac{1-2\xi}{K(1+2\eta)} \right) + \frac{3\pi}{2},$$

$$V_4 = \operatorname{arctg} \left( \frac{1+2\xi}{K(1+2\eta)} \right) + \frac{3\pi}{2}.$$

Проинтегрировав выражение (13), определяем полный ток  $I$  через поперечное сечение прямоугольной проволоки (множитель 4 перед интегралом возникает из-за того, что интегрирование ведется по четверти всего сечения проволоки):

$$I = \frac{3ne^2 \sqrt{a^2+b^2} E_z}{2\pi m v_F} ab \cdot 4 \int_0^{1/2} d\xi \int_0^{1/2} \sigma d\eta,$$

где  $\sigma$  — безразмерная локальная проводимость проволоки:

$$\sigma = \sum_{k=1}^4 \int_0^1 d\rho \int_{N_k}^{V_k} \rho \sqrt{1-\rho^2} \frac{1}{\Delta} [1 - \exp(-T_k)] d\alpha,$$

где

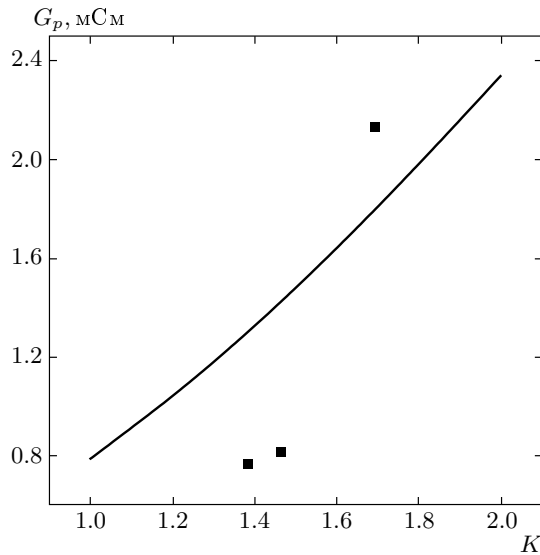
$$T_1 = \frac{\Delta(1-2\xi)}{2\rho \cos \alpha \sqrt{1+K^2}}, \quad T_2 = \frac{\Delta(1+2\xi)}{2|\rho \cos \alpha| \sqrt{1+K^2}},$$

$$T_3 = \frac{\Delta K(1-2\eta)}{2\rho \sin \alpha \sqrt{1+K^2}}, \quad T_4 = \frac{\Delta K(1+2\eta)}{2|\rho \sin \alpha| \sqrt{1+K^2}}.$$

Затем, формально воспользовавшись законом Ома в виде  $I = GU$ , где  $U$  — напряжение на концах проволоки, получаем формулу для расчета интегральной проводимости  $G_p$  проволоки (электрическое поле внутри проволоки однородное, поэтому  $U = E_z L$ ):

$$G_p = \frac{3ne^2 \sqrt{a^2+b^2} ab}{2\pi m v_F L} \cdot 4 \int_0^{1/2} d\xi \int_0^{1/2} \sigma d\eta. \quad (14)$$

В случае стационарного электрического поля (когда  $\Omega = 0$ ,  $\Delta = \lambda = \sqrt{a^2+b^2}/\Delta$ ) теоретический результат (14) можно качественно сравнить с экспериментальным результатом работы [8]. К сожалению, прямое сравнение затруднено, так как в металлы, из которых изготавливались проволоки, добавлялись различные примеси (для прямого сравнения необходимы эксперименты с чистыми металлами, для которых точно известно значение средней длины свободного пробега электронов). Однако и такое сравнение является полезным, поскольку позволяет провести оценку длины свободного пробега электронов в конкретном сплаве. На рис. 1 приведены взятые из работы [8] экспериментальные данные для серебряных (с некоторой примесью) проволок. По этим данным максимальное сближение теоретических и экспериментальных результатов происходит, когда  $\lambda \approx 2.5$ , т. е. эффективное значение длины свободного пробега электронов (при заданной температуре) в таких проволоках около 48 нм.



**Рис. 1.** Сравнение теоретических и экспериментальных данных для серебряных (с некоторой примесью) проволок: линия построена с использованием теоретического результата (формула (14)), точки соответствуют данным эксперимента [8]

Интегральную проводимость (14) (заметим, что она является комплексной величиной) представим в виде

$$G_p = G_0 P(\lambda, \Omega, K),$$

где

$$G_0 = \frac{3ne^2 \sqrt{a^2 + b^2}}{2\pi m v_F} \frac{ab}{L},$$

$$P(\lambda, \Omega, K) = 4 \int_0^{1/2} d\xi \int_0^{1/2} \sigma d\eta.$$

Численный расчет модуля  $M(\lambda, \Omega, K)$  и аргумента  $A(\lambda, \Omega, K)$  (фазы) безразмерной интегральной проводимости  $P(\lambda, \Omega, K)$  вытянутой прямоугольной проволоки представлен ниже на рис. 2, 3.

### 3. ОБСУЖДЕНИЕ ПОЛУЧЕННЫХ РЕЗУЛЬТАТОВ

Особый интерес представляет случай, когда частота внешнего поля  $\omega$  низка по сравнению с частотой столкновений электронов с поверхностью частицы, а длина свободного пробега  $\Lambda$  электронов существенно превышает поперечные размеры проволоки. Именно такое предположение использовалось при описании электромагнитных свойств малых металлических частиц в работе [12]. В этом случае экспоненты,

$K$	$F(K)$
0.1	0.552
0.2	0.883
0.3	1.125
0.4	1.305
0.5	1.435
0.6	1.527
0.7	1.588
0.8	1.626
0.9	1.646
1.0	1.651

входящие в выражение (13), можно разложить по известной формуле Тейлора (достаточно ограничиться первыми двумя членами разложения). Описанный выше прием позволяет значительно упростить формулу (14) для расчета интегральной проводимости  $G_p$  проволоки в приближении большой длины свободного пробега электронов  $\Lambda$  ( $\lambda \ll 1$ ). Соответствующий расчет приводит к следующему выражению для проводимости в указанном приближении:

$$G_p = \frac{3ne^2 \sqrt{a^2 + b^2}}{2\pi m v_F} \frac{ab}{L} F(K),$$

где  $F(K)$  — затабулированная функция, значения которой для некоторых  $K$  приведены в таблице, причем  $F(K) = F(1/K)$  ввиду очевидной симметрии задачи. В связи с этим в таблице приведены значения функции  $F(K)$  при  $0 < K \leq 1$ .

В работе [13] авторы описывали электромагнитные свойства цилиндрической проволоки. Используя материал этой статьи, легко получить формулу, аналогичную формуле (14), для расчета интегральной проводимости тонкой цилиндрической проволоки:

$$G_{cyl} = \frac{6ne^2 R^3}{m v_F L} \int_0^1 d\xi \int_0^1 \int_0^\pi \rho \sqrt{1 - \rho^2} \times \frac{1 - \exp(-\mu \zeta / \rho)}{\mu} d\rho d\alpha \quad (15)$$

( $R$  — радиус цилиндрической проволоки,  $L$  — ее длина),

$$\zeta = \xi \cos \alpha + \sqrt{1 - \xi^2 \sin^2 \alpha}, \quad \mu = \left( \frac{1}{\tau} - i\omega \right) \frac{R}{v_F}.$$

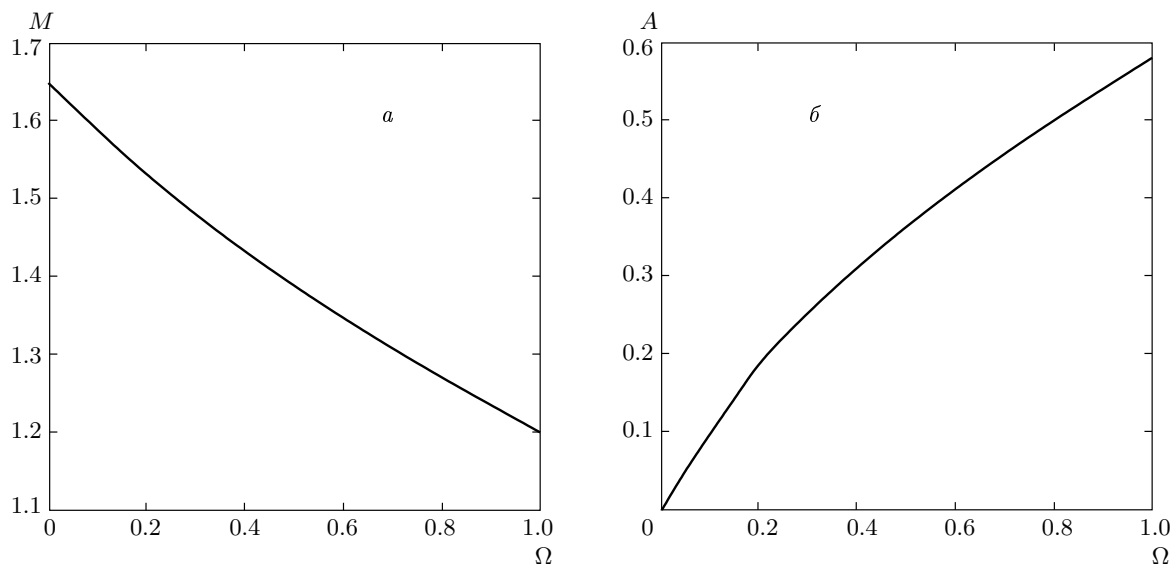


Рис. 2. Зависимости а) модуля  $M$  и б) аргумента  $A$  (фазы) безразмерной интегральной проводимости  $P$  проволоки от безразмерной частоты электрического поля  $\Omega$  ( $\lambda \approx 0, K = 1$ )

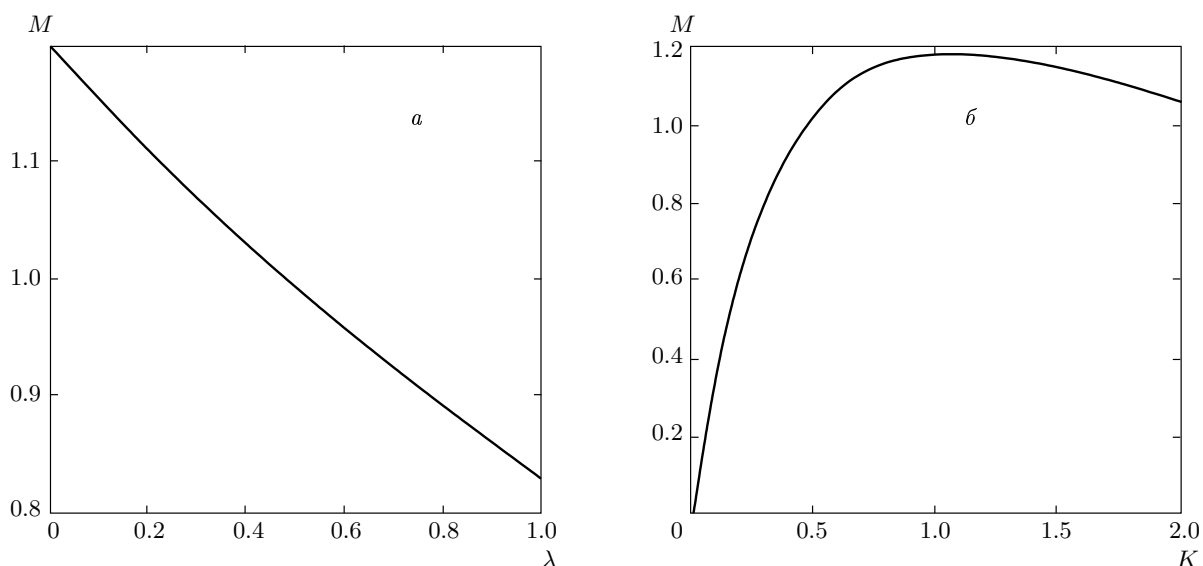


Рис. 3. Зависимость модуля  $M$  безразмерной интегральной проводимости  $P$  проволоки от а) безразмерной обратной длины свободного пробега электронов  $\lambda$  ( $\Omega = 1, K = 1$ ) и б) отношения поперечных размеров проволоки  $K$  ( $\lambda \approx 0, \Omega = 1$ )

Из формулы (15) также достаточно просто получить выражение для проводимости цилиндрической проволоки в приближении большой длины свободного пробега  $\Lambda$  электронов:

$$G_{cyl} = \frac{2\pi n e^2 R^3}{m v_F L}.$$

Найдя отношение удельных проводимостей прямоугольной  $\sigma_p$  и цилиндрической  $\sigma_{cyl}$  проволок одинаковой длины, имеющих одинаковые площади поперечного сечения и изготовленных из одного металла, в пределе бесконечной длины свободного пробега электронов получаем

$$\frac{\sigma_p}{\sigma_{cyl}} = \frac{3}{4} \sqrt{\frac{1+K^2}{\pi K}} F(K).$$

Из приведенной формулы, в частности, следует, что при  $K = 1$  (для проволоки квадратного сечения) это отношение равно 0.988.

На рис. 2 представлены зависимости модуля  $M$  и аргумента  $A$  (фазы) безразмерной интегральной проводимости  $P$  от безразмерной частоты  $\Omega$  электрического поля. Из анализа хода кривой на рис. 2а следует, что величина  $M$  монотонно убывает по мере увеличения безразмерной частоты  $\Omega$ , а величина  $A$  (рис. 2б) монотонно возрастает и при больших значениях  $\Omega$  достигает насыщения (ток опережает по фазе напряжение на  $\pi/2$ , т. е. в этом пределе проводимость становится чисто мнимой величиной).

На рис. 3а приведен график зависимости модуля  $M$  безразмерной интегральной проводимости  $P$  от безразмерной обратной длины свободного пробега  $\lambda$  электронов. Из рисунка видно, что величина  $M$  также монотонно убывает по мере увеличения  $\lambda$ . В случае больших значений  $\lambda$  имеет место макроскопическая асимптотика.

По рис. 3б анализируется зависимость модуля  $M$  безразмерной интегральной проводимости  $P$  от отношения  $K$  поперечных размеров проволоки для случая достаточно чистого металла (электроны обладают большой длиной свободного пробега по отношению к характерному линейному размеру  $\sqrt{a^2 + b^2}$ ), из которого изготовлена проволока ( $\lambda \approx 0$ ). График имеет очевидный максимум, приходящийся на значение  $K = 1$  (т. е. модуль безразмерной интегральной проводимости максимален, если поперечное сечение представляет собой квадрат). Это легко понять исходя из физической сути рас-

сматриваемого явления: выбор в качестве параметра  $K$  отношения  $a$  к  $b$  равнозначен выбору в качестве данного параметра и обратного отношения.

## ЛИТЕРАТУРА

1. Ю. И. Петров, *Физика малых частиц*, Наука, Москва (1984).
2. R. V. Dingle, Proc. Roy. Soc. London A **201**, 545 (1950).
3. D. K. C. MacDonald, Nature **163**, 637 (1949).
4. R. G. Chambers, Proc. Roy. Soc. London A **202**, 378 (1950).
5. D. K. C. MacDonald, Proc. Phys. Soc. London A **63**, 290 (1950).
6. R. G. Chambers, Proc. Phys. Soc. London A **65**, 458 (1952).
7. G. K. White and S. B. Woods, Phil. Mag. **1**, 846 (1956).
8. F. Pierre, A. B. Gougam, A. Anthore et al., Phys. Rev. B **68**, 85413 (2000).
9. У. Харрисон, *Теория твердого тела*, Мир, Москва (1972).
10. Дж. Займан, *Электроны и фононы*, Москва (1962).
11. Р. Курант, *Уравнения с частными производными*, Мир, Москва (1962).
12. Э. А. Маныкин, П. П. Полуэктов, Ю. Г. Рубежный, ЖЭТФ **70**, 2117 (1976).
13. Э. В. Завитаев, А. А. Юшканов, ЖТФ **75**, 1 (2005).